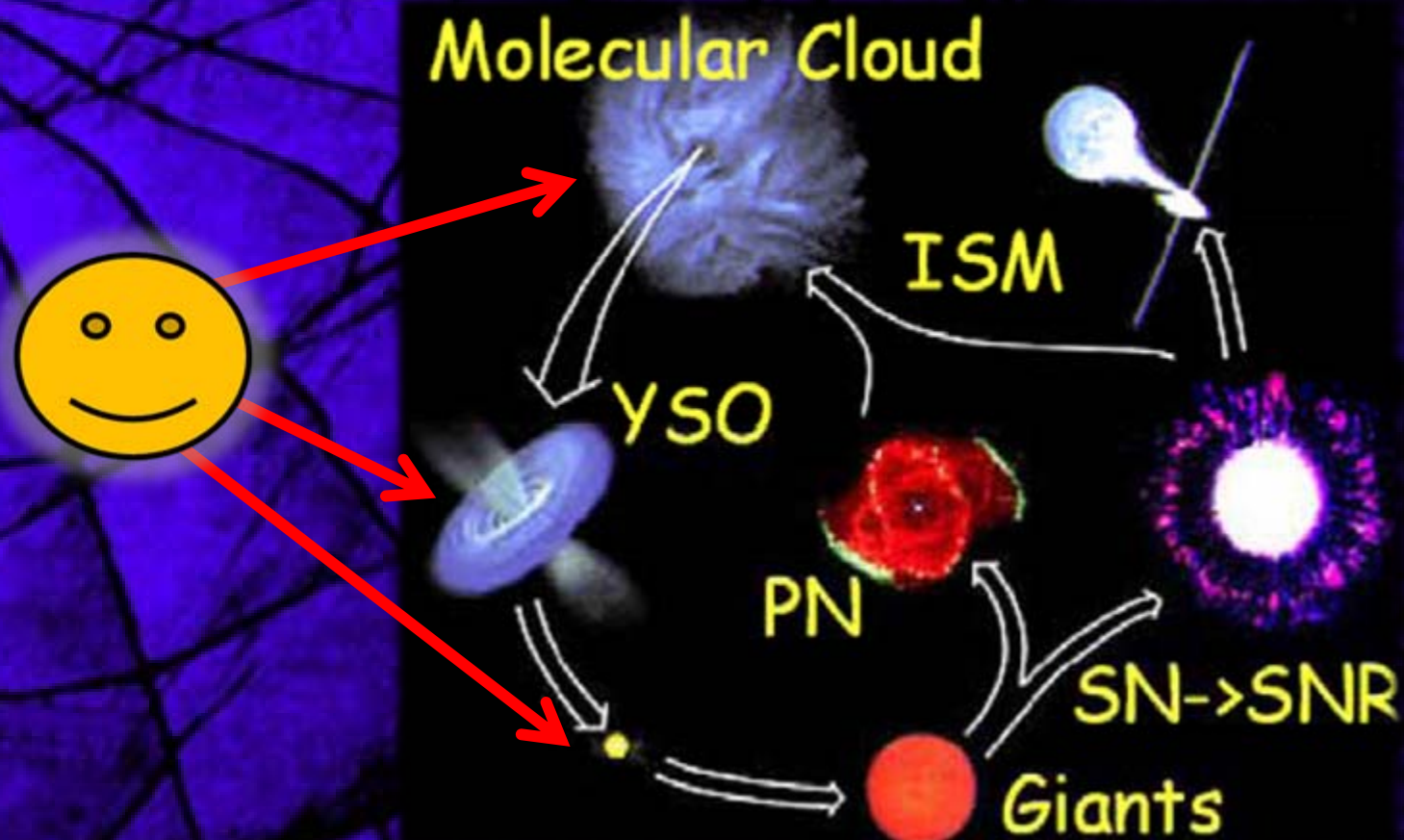


# SPICAによる近傍銀河の 中間-遠赤外線撮像観測

鈴木 仁研(国立天文台)



# 銀河星間空間における物質循環



# Star formation

## □ Kennicutt-Schmidt law (K-S law)

Kennicutt (1998)  $\Rightarrow$  SFR and gas surface densities for discrete galaxies

$H\alpha \Rightarrow SFR$

$CO(H_2)$  and  $HII \Rightarrow$  Gas surface density

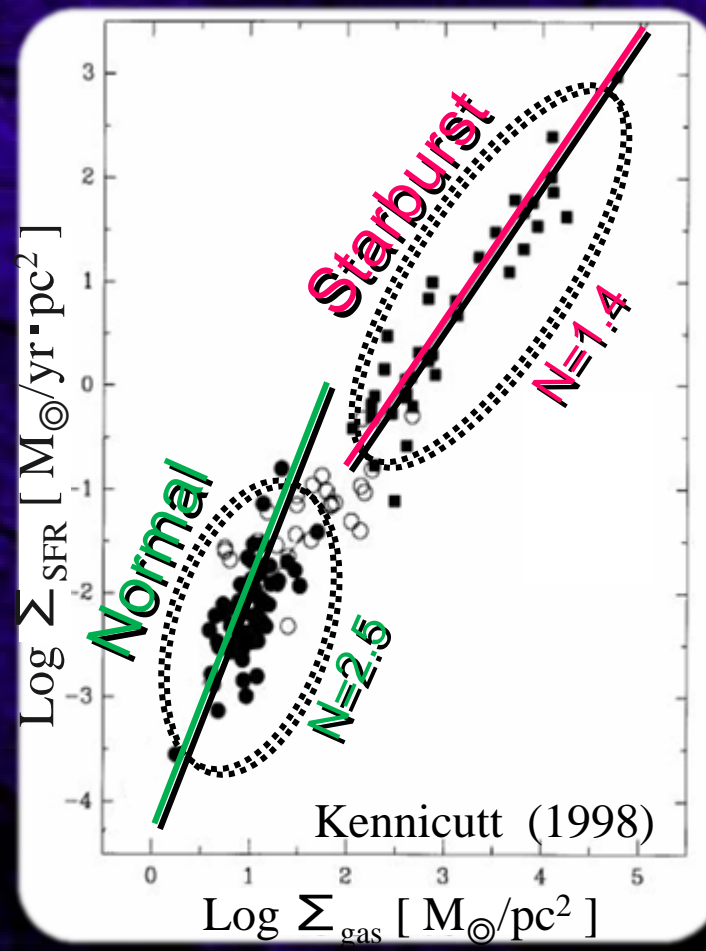
$$\sum_{SFR} \propto \sum_{gas}^N$$

Normal spiral galaxies (disk region) :  $N \sim 2$

Starburst galaxies :  $N \sim 1$

Systematic difference in  $N$

$\Rightarrow$  difference in star formation process over the galactic scale ?



It is important to investigate the K-S law **within galaxies**

# K-S law in galaxies

- $H\alpha \rightarrow SFR, H_I, CO \rightarrow H, H_2 \text{ gas}$

利点: 高空間分解

欠点: データセットの不完全性

Ex. Weak CO emission: M101, M81, ...

- Warm dust  $\rightarrow SFR$ , Cold dust  $\rightarrow H_2 \text{ gas}$

利点: データセットの完全性

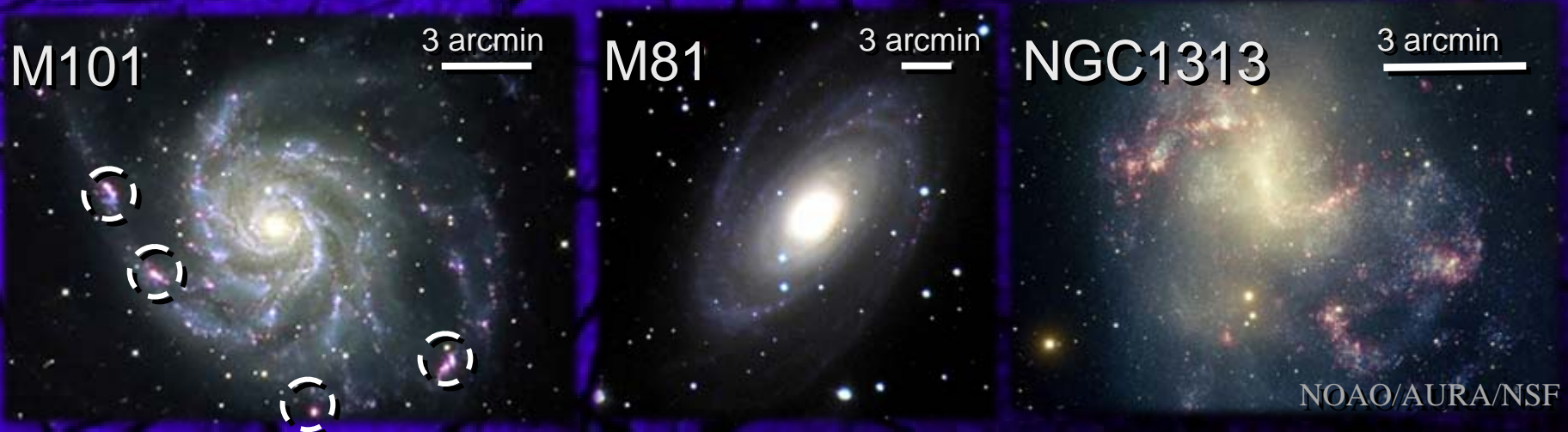
欠点: 低空間分解



AKARI による遠赤外線観測

- 4つの測光バンド( $65, 90, 140, 160 \mu m$ )
- 空間分解能( $40''$ - $60''$ )
- 広いダイナミックレンジ

# AKARIによる近傍渦巻銀河の観測



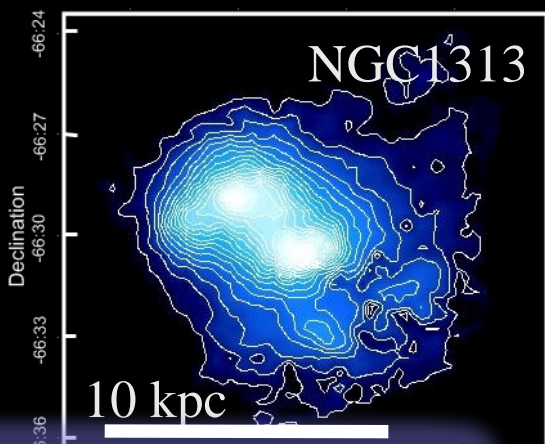
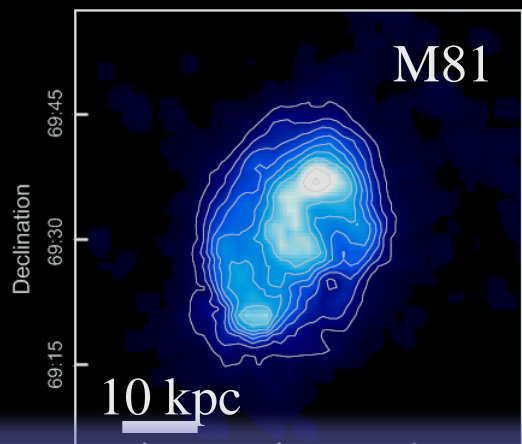
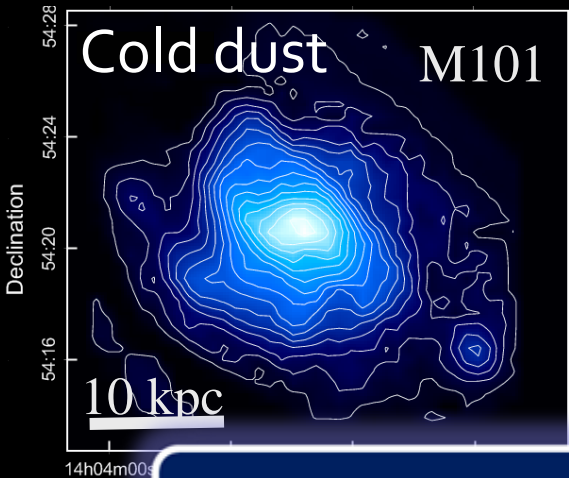
Face-on & 大きな銀河 → 最適な観測対象

M101: 銀河外縁部に4つの活発な星形成領域が存在。

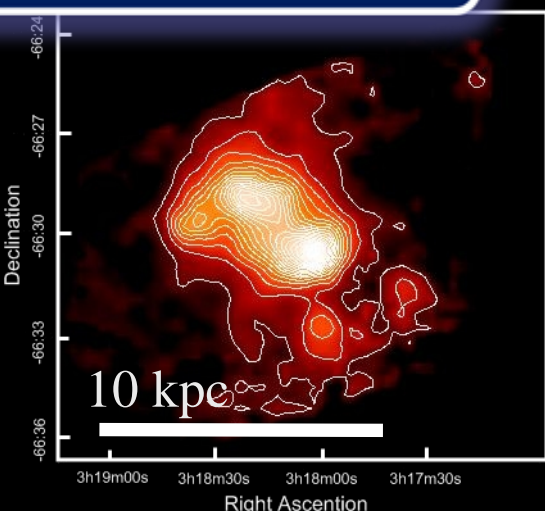
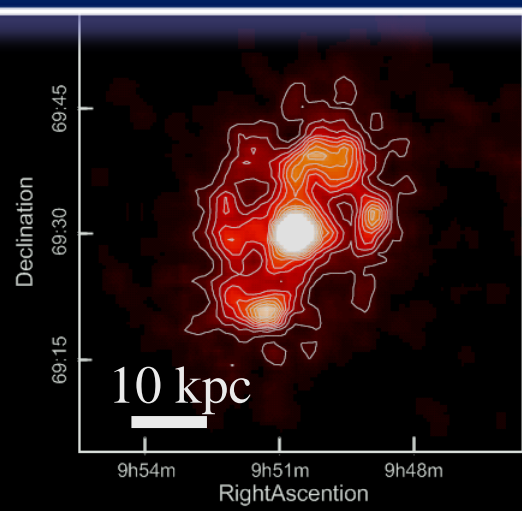
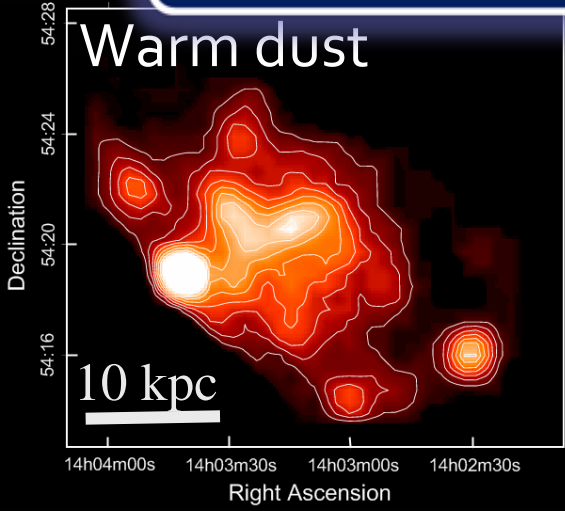
M81: 発達した2本の渦巻腕の存在。

NGC1313: 不規則銀河と渦巻銀河の間の遷移段階。

# Cold & warm dust の空間分布



$$(\sum L_{\text{cold}}, \sum L_{\text{warm}}) \rightarrow (\sum_{\text{gas}}, \sum_{\text{star}})$$



# Relation between $\Sigma_{\text{SFR}}$ and $\Sigma_{\text{gas}}$

## Assumptions

- OB stars are instantaneously formed.
- Initial mass function is constant.
- Dust re-radiates its energy in the far-IR.

## SFR surface density

$$\Sigma_{\text{SFR}}(r, \theta) \propto \Sigma_{\text{star}}(r, \theta)$$

$$= A \cdot \eta_{\text{uv}}(r)^{-1} \cdot \Sigma_{\text{warm}}(r, \theta)$$

$\Sigma_{\text{star}}(r, \theta)$ : star formation rate surface density  
 $\Sigma_{\text{warm}}(r, \theta)$ : warm gas surface density  
 $A$ : constant

$\eta_{\text{uv}}(r)$  : the fraction of UV photons absorbed by dust

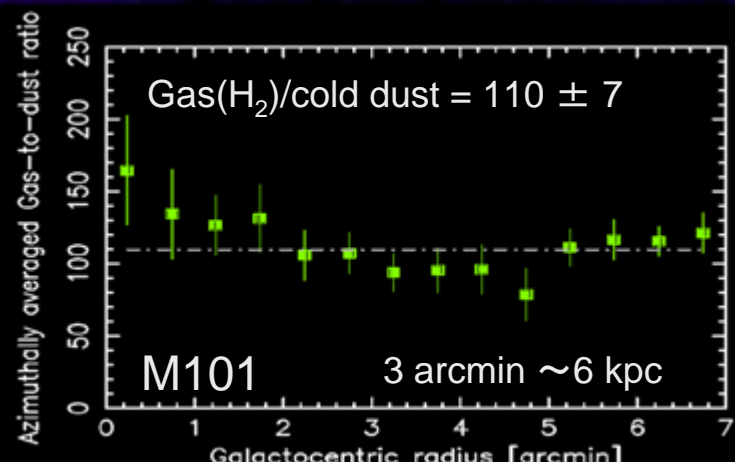
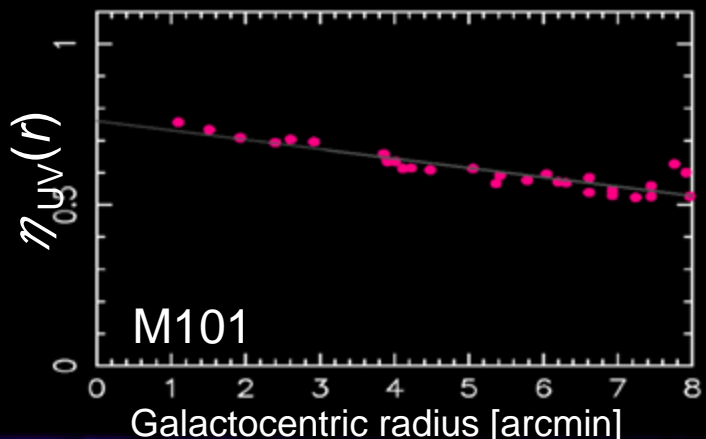
$A$ : constant

## H<sub>2</sub> gas surface density

$$\Sigma_{\text{gas}}(r, \theta) = R_{\text{H}_2}(r) \cdot \Sigma_{\text{cold}}(r, \theta)$$

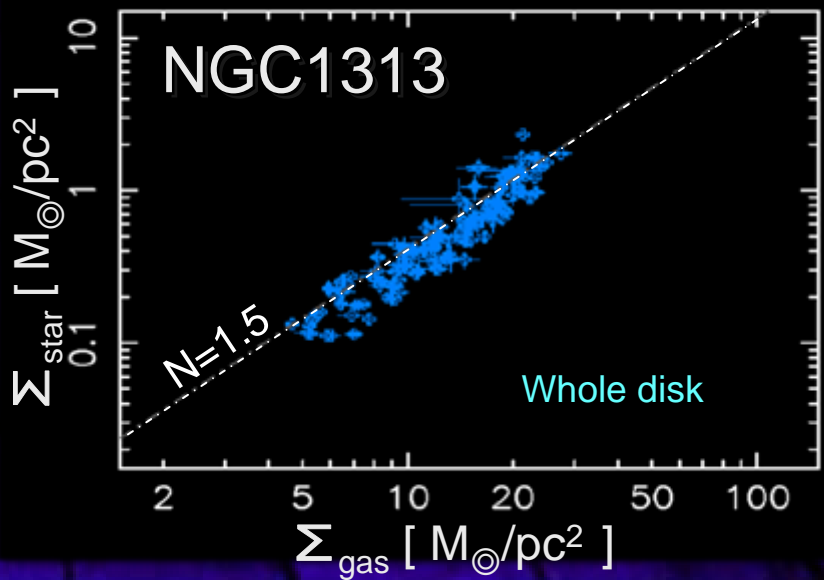
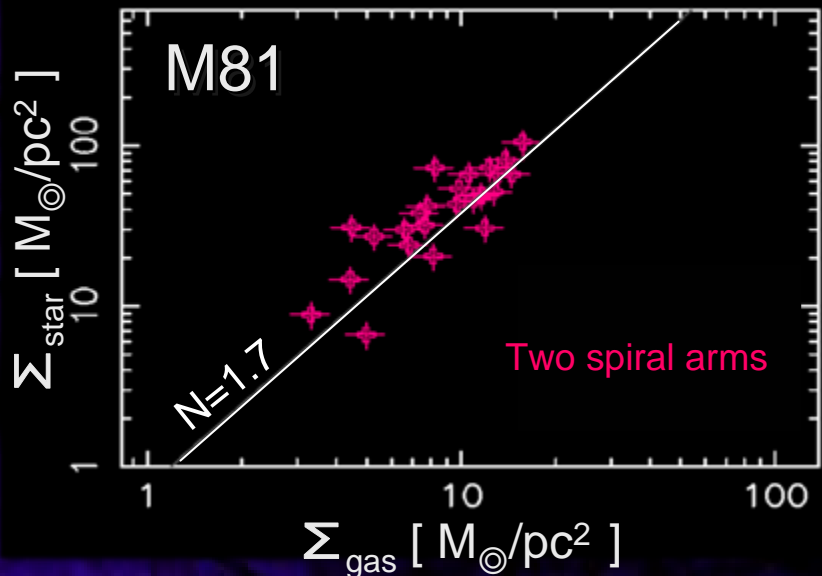
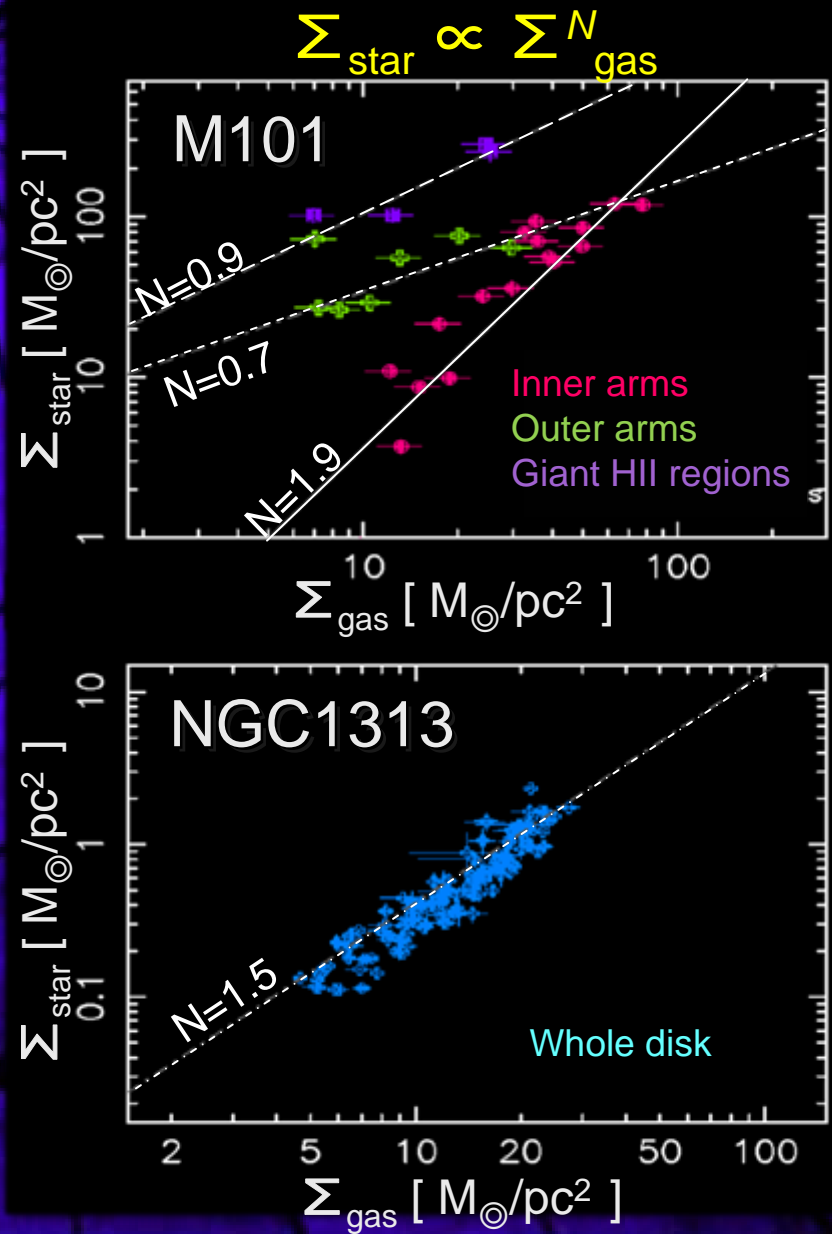
$\Sigma_{\text{cold}}(r, \theta)$ : cold dust surface density  
 $R_{\text{H}_2}(r)$ : H<sub>2</sub> gas to cold dust ratio

$$R_{\text{H}_2}(r) = 110 \text{ (M101)}$$



(H<sub>2</sub> gas distribution: Kenney et al. 1991)

# K-S law in galaxies



	Region	Power-law Index
M101	Inner arms	$1.9 \pm 0.1$
	Outer arms	$0.7 \pm 0.1$
	Giant HII regions	$0.9 \pm 0.2$
M81	Two spiral arms	$1.7 \pm 0.2$
NGC1313	Whole disk	$1.5 \pm 0.1$

# AKARI から SPICA へ

銀河内部におけるK-S lawの系統的研究

系統的な観測: 形態・環境別

形態別→ Sa-Sc, SB, Irr

銀河間でのべきの変化の可能性

環境別→ 銀河同士の衝突等

べきの空間変化の可能性



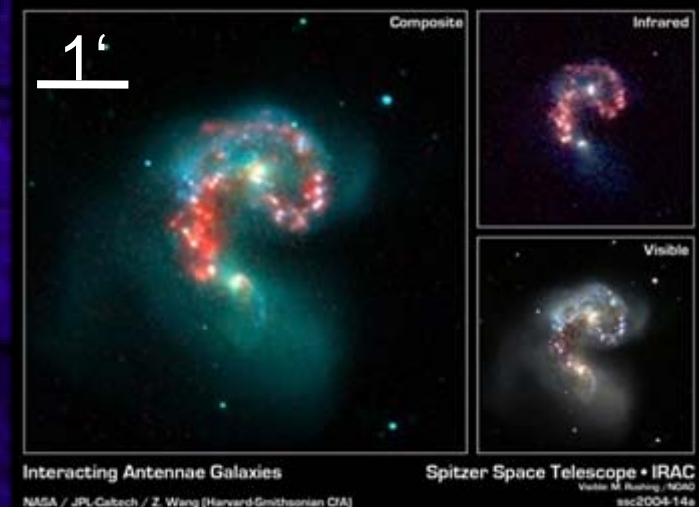
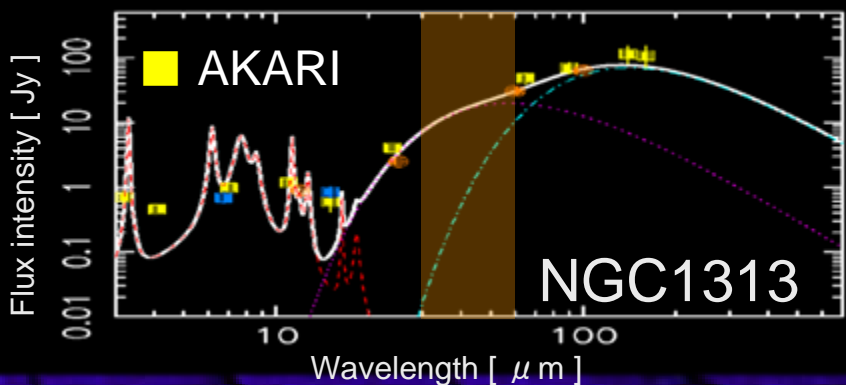
# SPICAによるMIR-FIR観測

衝突銀河、潮汐相互作用銀河を  
高空間分解・高感度で観測

## K-S law in galaxies

- (1) 星形成の物理過程の理解
- (2) 銀河進化モデルへの feed back

## 観測装置への要求



ぜひ30-50  $\mu\text{m}$ 帯の観測の実現を。

# まとめ

- 近傍渦巻銀河内部でのK-S Lawの研究が本格的に行われている。  
→ AKARIの指向観測によって、銀河の形態別・環境別にベキが変化し得る可能性を示せた。
- AKARI・SPICAによる銀河内の K-S lawの系統的研究へ。  
→ SPICAの高空間分解・高感度観測を生かし、衝突銀河などのサンプルを重点的に観測。ベキの空間変化を捉えたい。